

УДК 539.374

© 1995 г. Л. Х. БЕЛЕНЬКАЯ

ИССЛЕДОВАНИЕ ВТОРИЧНЫХ ПЕРИОДИЧЕСКИХ РЕЖИМОВ  
ВЯЗКОУПРУГОГО СТЕРЖНЯ С НАСЛЕДСТВЕННЫМИ СВОЙСТВАМИ  
ПОД ДЕЙСТВИЕМ ВИБРАЦИИ

В работе рассматривается возникновение  $P$  ( $2P$ )-периодических колебаний в результате потери устойчивости прямолинейной формы вязкоупругого стержня, наследственные свойства которого описываются интегральным соотношением. Стержень находится в вязкой внешней среде. Концы стержня шарнирно закреплены. К одному из концов стержня приложена продольная периодически изменяющаяся во времени нагрузка. Для расчета вторичных режимов, ответвляющихся от прямолинейной формы, применяется метод Ляпунова — Шмидта. Решение соответствующей нелинейной системы интегродифференциальных уравнений в частных производных разыскивается в виде рядов по степеням малого параметра. Получены выражения для амплитуды и декремента затухания вторичных режимов для произвольного ядра релаксации. Расчеты проведены в случае дробно-экспоненциального ядра. Для отыскания нейтральных режимов соответствующей системы линейных интегродифференциальных уравнений применяется метод цепных дробей. Аналогичная задача для материала Фойкта рассмотрена в [1]. Для конкретных значений параметров выявлен характер потери устойчивости (мягкий, жесткий).

1. Постановка задачи. Рассмотрим вязкоупругий стержень, находящийся в вязкой внешней среде. Считаем, что сила внешнего трения пропорциональна нормальной компоненте скорости движения элемента стержня. Связь напряжений  $\sigma$  и деформации  $\varepsilon$  задается определяющим соотношением наследственности типа:

$$\sigma = E (\varepsilon - (Ge)(t)) \quad (1.1)$$

$$(Gu)(t) = \int_0^t B(t-\theta) u(\theta) d\theta \quad (1.2)$$

где  $E$  — модуль упругости,  $B(t)$  — ядро релаксации. Коэффициент внешнего трения обозначим через  $v_2 \geq 0$ .

К одному из концов стержня приложена продольная нагрузка, периодически изменяющаяся во времени  $P(\omega t) = P_0(1 + h \sin \omega t)$ , где  $P_0$  — среднее осевое давление,  $h$ ,  $\omega$  — соответственно, амплитуда и частота модуляции.

Предполагая, что движение происходит в одной из главных плоскостей инерции, пренебрегая инерцией поворота поперечного сечения, применим к системе, рассмотренной в [2], принцип Вольтерра. Для этого в уравнениях заменим модуль упругости  $E$  на интегральный оператор (1.1). Тогда для определения декартовых координат элемента стержня  $V'(s, t)$ ,  $W'(s, t)$  растягивающей силы  $T'(s, t)$  и кривизны  $K'(s, t)$ , получим нелинейную систему интегродифференциальных уравнений:

$$\begin{aligned} & (1 - G) \frac{\partial^2 K}{\partial^2 z} - KT - \frac{\partial W}{\partial z} \left( \frac{\partial^2 V}{\partial t^2} + \mu \frac{\partial V}{\partial t} \right) + \\ & + \frac{\partial V}{\partial z} \left( \frac{\partial^2 W}{\partial t^2} + \mu \frac{\partial W}{\partial t} \right) = 0 \\ & \frac{\partial T}{\partial z} + K(1 - G) \frac{\partial K}{\partial z} - \frac{\partial V}{\partial z} \frac{\partial^2 V}{\partial t^2} - \frac{\partial W}{\partial z} \frac{\partial^2 W}{\partial t^2} = 0 \\ & (\frac{\partial V}{\partial z})^2 + (\frac{\partial W}{\partial z})^2 = 1, \quad K = \frac{\partial^2 W}{\partial z^2} \frac{\partial V}{\partial z} - \frac{\partial^2 V}{\partial z^2} \frac{\partial W}{\partial z} \end{aligned} \quad (1.3)$$

Здесь введены безразмерные параметры

$$z = sl^{-1}, V' = Vl^{-1}, W' = Wl^{-1}, K = Kl, T = l^2T' (EJ)^{-1}, v = v_l l^{-2} (EJ)^{1/2} m^{-1/2}$$

$$\mu = v_2 l^2 (mEJ)^{-1/2}, t = l^{-2} (EJ)^{1/2} m^{-1/2} \tau, b = P_0 l^2 (EJ)^{-1}$$

$$B(t) = l^2 (EJ)^{-1/2} m^{1/2} B ((EJ)^{-1/2} m^{1/2} \tau)$$

где  $s$  — длина дуги стержня,  $l$  — длина стержня,  $m$  — погонная масса,  $EJ$  — изгибная жесткость поперечного сечения,  $t$  — время.

Пусть концы стержня шарнирно закреплены. При изучении устойчивости можно ограничиться решениями, удовлетворяющими краевым условиям

$$V(0, t) = W(0, t) = \partial^2 V(0, t) / \partial z^2 = 0 \quad (1.4)$$

$$V(1, t) = \partial^2 V(1, t) / \partial z^2 = T(1, t) + (1 - (V(1, t) / \partial z)^2)^{1/2} \beta P(\omega t) = 0 \quad (1.5)$$

Система (1.3) — (1.5) при любых значениях параметров допускает решение

$$V = 0, \quad W = z, \quad T = -\beta P(\omega t) \quad (1.6)$$

соответствующее прямолинейному равновесию стержня.

Линеаризация в системе (1.3) — (1.5) около решения (1.6) приводит к линейной спектральной задаче<sup>1</sup>:

2. Применение метода Ляпунова — Шмидта к расчету колебаний, отвечающих от прямолинейной формы стержня. Для исследования  $P$  — ( $2P$ ) — периодических колебаний, отвечающих от прямолинейной формы стержня, воспользуемся методом Ляпунова — Шмидта ( $P = 2\pi/\omega$ ).

В системе (1.3) — (1.5) положим

$$\begin{aligned} V &= v(z, t), \quad W = z - H(z, t), \quad K = -\partial^2 v / \partial z^2 + R(z, t), \\ T &= -\beta P(\omega t) + \theta(z, t) \end{aligned} \quad (2.1)$$

Тогда задача сводится к отысканию  $P$  — ( $2P$ ) — периодических по времени решений системы ( $t_0 = -\infty$ ):

$$Lv = f \quad (2.2)$$

$$Lv \equiv (1 - G) \partial^4 v / \partial z^4 + \beta P(\omega t) \partial^2 v / \partial z^2 + \mu \partial v / \partial t + \partial^2 v / \partial t^2$$

с граничными условиями

$$v(0, t) = \partial^2 v(0, t) / \partial z^2 = H(0, t) = 0 \quad (2.3)$$

$$v(1, t) = \partial^2 v(1, t) / \partial z^2 = (1/2 (\partial v / \partial z)^2 + \dots)_{z=1} \beta P(\omega t) + \theta(1, t) = 0 \quad (2.4)$$

где  $f$  нелинейно зависит от функций  $v, H, \theta, R$  и их производных.

Будем рассматривать  $P$  — ( $2P$ ) — периодические режимы, возникающие при сверхкритических значениях нагрузки  $\beta$ . Для этого положим

$$\beta = \beta_* + \epsilon^2 \quad (2.5)$$

$\beta_*$  — критическое значение нагрузки, определяемое линейной задачей.

Решение системы (2.2) — (2.4) с учетом (2.5) разыскиваем в виде рядов по степеням  $\epsilon$ :

$$(v, H, \theta, R) = \sum_{k=0}^{\infty} (v_k, H_k, \theta_k, R_k) \epsilon^k. \quad (2.6)$$

Подставляя (2.5) — (2.6) в систему (2.2) — (2.4) и приравнивая члены при

<sup>1</sup> Беленская Л. Х., Сухова Н. В. Параметрический резонанс в задаче устойчивости вязкоупругого стержня. Ростов-на-Дону, 1986. 83 с. — Деп. в ВИНИТИ. № 4609-В86.

одинаковых степенях  $\varepsilon$ , получим систему уравнений для определения функций  $v_k, \theta_k, H_k, R_k$ :

$$(1 - G) \frac{\partial^4 v_k}{\partial z^4} + \beta_* P(\omega t) \frac{\partial^2 v_k}{\partial z^2} + \frac{\partial^2 v_k}{\partial t^2} + \mu \frac{\partial v_k}{\partial t} = \\ = P(\omega t) \frac{\partial^2 v_{k-2}}{\partial z^2} + f_k \equiv \varphi_k \quad (2.7)$$

Для  $\varphi_k$  имеем

$$\varphi_k = -P(\omega t) \frac{\partial^2 v_{k-2}}{\partial z^2} + P(\omega t) R_{k-2} + (1 - G) \frac{\partial^2 R_k}{\partial z^2} + \\ + \sum_{j=1}^{k-1} (\theta_{k-j} (\frac{\partial^2 v_j}{\partial z^2} - R_j) + \frac{\partial^2 H_{k-j}}{\partial z^2} (\frac{\partial^2 v_j}{\partial t^2} + \mu \frac{\partial v_j}{\partial t}) - \\ - \frac{\partial v_{k-j}}{\partial z} (\frac{\partial^2 H_j}{\partial t} + \mu \frac{\partial H_j}{\partial t})) \quad (2.8)$$

Краевые условия принимают вид

$$v_k(0, t) = \frac{\partial^2 v_k}{\partial z^2}(0, t) = H_k(0, t) = 0 \quad (2.9)$$

$$\frac{\partial^2 v_k}{\partial z^2}(1, t) = v_k(1, t) = \theta_k(1, t) + \sum_{j=1}^{k-1} (1/2 \frac{\partial v_{k-j}}{\partial z} \frac{\partial v_j}{\partial z} + \dots) \beta_* P(\omega t) + \\ + P(\omega t) \sum_{j=1}^{\infty} (1/2 \frac{\partial v_{k-j-2}}{\partial z} \frac{\partial v_j}{\partial z} + \dots) = 0 \quad (2.10)$$

Для существования  $P$ - $(2P)$  периодического решения системы (2.7) — (2.10) необходимо и достаточно выполнения условия ортогональности:

$$\langle \varphi_k v_* \rangle = (1/P) \int_0^P \int_0^\infty \varphi_k(z, t) v_*(z, t) dz dt = 0 \quad (2.11)$$

где  $v_*$  — решение сопряженного однородного уравнения

$$(1 - G_*) \frac{\partial^4 v}{\partial z^4} + \beta_* P(\omega t) \frac{\partial^2 v}{\partial z^2} - \mu \frac{\partial v}{\partial t} + \frac{\partial^2 v}{\partial t^2} = 0 \quad (2.12)$$

которое имеет вид  $v_*(z, t) = y_*(t) \sin \pi n z$ , при этом  $y_*(t)$  удовлетворяет уравнению

$$\ddot{y} - \mu \dot{y} + (\pi^4 n^4 - \beta_* \pi^2 n^2 (1 + h \sin \omega t)) y - \pi^4 n^4 (G_* y)(t) = 0 \quad (2.13)$$

$$(G_* y)(t) = \int_t^\infty B(\theta - t) y(\theta) d\theta \quad (2.14)$$

Будем рассматривать решения системы (2.7) — (2.10) последовательно для  $k = 1, 2, 3, \dots$

При  $k = 1$  уравнение (2.7) однородно и служит для определения критических нагрузок  $\beta_*$ .

При  $k = 2$  уравнение (2.7) также однородно. Таким образом, для  $v_1, v_2$  имеем  $v_1 = \alpha_1 y(t) \sin \pi n z$ ,  $v_2 = \alpha_2 y(t) \sin \pi n z$ , где  $\alpha_1, \alpha_2$  — неизвестные постоянные,  $y(t)$  — решение уравнения

$$\ddot{y} + \mu \dot{y} + (\pi^4 n^4 - \beta_* \pi^2 n^2 (1 + h \sin \omega t)) y - \pi^4 n^4 (G_* y)(t) = 0 \quad (2.15)$$

Из условия разрешимости уравнения (2.7) при  $k = 3$  получаем соотношение из которого определяем

$$\alpha_1^2 = -1/2 \pi^2 n^2 \langle y(t) P(\omega t) y_*(t) \rangle S^{-1}, S = \sum_{l=1}^6 I_l \quad (2.16)$$

$$I_1 = (5/32 \pi^6 n^6 + 1/12 \pi^8 n^8) \langle y(t)^3 y_*(t) \rangle$$

$$I_2 = (3/32\pi^2 n^2 - 1/12\pi^4 n^4) \langle y(t) \dot{y}(t)^2 y_*(t) \rangle$$

$$I_3 = (-1/12\pi^6 n^6 - 7/32\pi^4 n^4) \beta_* \langle y(t)^3 P(\omega t) y_*(t) \rangle$$

$$I_4 = \mu (1/12\pi^4 n^4 + 5/32\pi^2 n^2) \langle \dot{y}(t) y(t)^2 y_*(t) \rangle$$

$$I_5 = 1/16\pi^6 n^6 \langle (Gy^3) y_*(t) \rangle$$

$$I_6 = -\pi^6 n^6 (1/12\pi^2 n^2 + 7/32) \langle (Gy) y(t)^2 y_*(t) \rangle$$

Таким образом, условием существования  $P - (2P)$ -периодических колебаний при малых сверхкритических нагрузках является положительность величины  $\alpha_1^2$ . Если же эта величина отрицательна, то  $P - (2P)$ -периодические колебания существуют только при докритических нагрузках. Для их вычисления соотношение (2.5) следует заменить соотношением  $\beta = \beta_* - \varepsilon^2$ . Тогда, повторяя предыдущий вывод, приходим к формуле (2.16) с заменой  $\alpha_1^2$  на  $-\alpha_1^2$ .

**3. Исследование устойчивости вторичных  $P - (2P)$ -периодических режимов.** Для исследования устойчивости сверхкритических и докритических  $P - (2P)$ -периодических колебаний, линеаризуем систему (2.2) — (2.4) около рассмотренного решения (2.6). Для этого положим в системе (2.2) — (2.4):

$$v = v_0 + v'', \theta = \theta_0 + \theta'', H = H_0 + H'', R = R_0 + R''$$

$$v_0 = v_i + O(\varepsilon^2), \theta_0 = \theta_2 + o(\varepsilon^2), H_0 = H_2 + o(\varepsilon^2), R_0 = R_3 + o(\varepsilon^3)$$

Возмущения ищем в виде

$$(v'', \theta'', H'', R'') = (v, \theta, H, R) \exp(\sigma t) \quad (3.1)$$

где  $v, \theta, H, R - P - (2P)$ -периодические по  $t$  функции. Подставляя (3.1) в линеаризованные уравнения (2.2) — (2.4) и полагая  $\beta = \beta_* + \varepsilon^2$ , придем к системе

$$\begin{aligned} Lv &= \varepsilon^2 P(\omega t) \partial^2 v / \partial z^2 - \mu \sigma v - \sigma^2 v - 2\sigma \partial v / \partial t + \\ &+ \sum_{n=1}^{\infty} (-1)^n (n!)^{-1} \sigma^n (G(\partial^4 v / \partial z^4 t^n))(t) + f \end{aligned} \quad (3.2)$$

Решение системы (3.2) разыскиваем в виде

$$(v, \theta, H, R) = \sum_{k=1}^{\infty} (v'_k, \theta'_k, H'_k, R'_k) \varepsilon^k, \sigma = \sum_{k=1}^{\infty} \sigma_k \varepsilon^k, \sigma_0 = 0 \quad (3.3)$$

Из условия разрешимости уравнения (3.2) при  $k = 1$  имеем  $\sigma_1 = 0$ , при этом предполагаем, что величина  $\mu \langle yy_* \rangle + 2 \langle \dot{y}y_* \rangle + \pi^4 n^4 \langle (Gy) y_* \rangle \neq 0$ . Это предположение подтверждается численными результатами.

Используя условие разрешимости при  $k = 3$ , для декремента затухания получаем формулу:

$$\sigma_2 = -\pi^2 n^2 \langle y(t) P(\omega t) y_*(t) \rangle (1/2\mu \langle yy_* \rangle + \langle \dot{y}y_* \rangle + 1/2\pi^4 n^4 \langle (Gy) y_* \rangle)^{-1} \quad (3.4)$$

В случае докритического ветвления, в правой части (3.4) знак меняется на противоположный. В обеих случаях для собственного числа  $\sigma$  имеем

$$\sigma = \sigma_2 (\beta - \beta_*) + O(|\beta - \beta_*|^{3/2})$$

Решение (2.6) будет устойчивым или неустойчивым в зависимости от того в левой или в правой полуплоскости окажется собственное число  $\sigma$ .

Для исследования устойчивости прямолинейной формы стержня линеаризуем систему (1.3) — (1.5) около решения (1.6). Аналогично предыдущему определяем собственное число

$$\sigma_2' = 1/2\pi^2 n^2 \langle y(t) P(\omega t) y_*(t) \rangle (1/2\mu \langle yy_* \rangle + \langle \dot{y}y_* \rangle + 1/2\pi^4 n^4 \langle (Gy) y_* \rangle)^{-1} \quad (3.5)$$

Таким образом, имеем  $\sigma_2 = -2\sigma'_2$ , т. е. происходит обмен устойчивостью между прямолинейной формой стержня и возникающими вторичными периодическими режимами.

В простейшем стационарном случае ( $h = 0$ ), как видно из выражений (2.16), (3.4), (3.5) при переходе нагрузки  $\beta$  через критическое значение  $\beta_*^0$ :

$$\beta_*^0 = \pi^2 (1 - G_0), G_0 = \int_0^\infty B(\tau) d\tau$$

прямолинейная форма стержня теряет устойчивость и мягко возникает пара устойчивых равновесий:

$$v = \mp \epsilon \alpha_1 \sin \pi z + O(\epsilon^2), \quad \epsilon = (\beta - \beta_*^0)^{1/2}, \quad \sigma = -2\pi^2 (\mu + \pi^4 G_1)^{-1}$$

$$G_1 = \int_0^\infty B(\tau) \tau d\tau, \quad G_1 > 0$$

При ограничениях на оператор релаксации вытекающих из принципа устойчивости материала [3], следует, что  $G_0 < 1, \alpha_1^2 > 0$ .

**4. Уравнения для периодических колебаний.** Для отыскания  $P$ -периодического решения уравнения (2.15) воспользуемся методом цепных дробей [4].

Решение  $y(t)$  разыскиваем в виде ряда Фурье

$$y(t) = \sum_{-\infty}^{\infty} c_n \exp(i\omega n t), \quad c_{-n} = c_n^* \quad (4.1)$$

Коэффициенты  $c_n$  удовлетворяют бесконечной системе линейных алгебраических уравнений

$$a_k c_k + c_{k-1} - c_{k+1} = 0, \quad k = 0, \pm 1, \pm 2, \dots \quad (4.2)$$

$$a_k = 2(\beta\pi^2 n^2 h)^{-1} (\mu\omega k + \pi^4 n^4 K_s - i(\pi^4 n^4 - \beta\pi^2 n^2 - \omega^2 k^2 - \pi^4 n^4 K_c))$$

$$K_s = \int_0^\infty B(\tau) \sin \omega k \tau d\tau, \quad K_c = \int_0^\infty B(\tau) \cos \omega k \tau d\tau$$

Разыскиваем нетривиальные решения системы (4.2) такие, что  $|c_n| \rightarrow 0$  при  $|n| \rightarrow \infty$ . Из (4.2) видно, что в этом случае  $|c_n| |n|^m \rightarrow 0$  при  $|n| \rightarrow \infty$  для любого целого  $m$ , отсюда следует сходимость ряда (4.1) и возможность почлененного дифференцирования.

Обозначим через  $g_n = c_n / c_{n-1}$ ,  $n = 0, \mp 1, \mp 2, \dots$ . Тогда система (4.2) примет вид

$$a_n + g_n^{-1} = g_{n+1} \quad (4.3)$$

Из системы (4.3) выводим представление для  $g_n$ :

$$g_n = -\frac{1}{a_n + \frac{1}{a_{n+1} + \frac{1}{a_{n+2} + \dots}}} \quad (4.4)$$

Решение системы (4.2) с  $|c_n| \rightarrow 0$  при  $n \rightarrow \infty$  единственно с точностью до постоянного множителя и дается формулами

$$c_0 = 1, \quad c_1 = g_1, \quad c_2 = g_1 g_2, \quad c_n = g_1 g_2 \dots g_n \quad (4.5)$$

Повторяя предыдущие рассуждения, для решения сопряженного уравнения (2.13) получаем представление

$$y_*(t) = \sum_{-\infty}^{\infty} (-1)^n c_n^* \exp(i\omega nt) \quad (4.6)$$

Нетрудно видеть, что  $y(t) = y(\pi/\omega - t)$ .

Для отыскания  $2P$ -периодических режимов уравнения (2.15), решение  $y(t)$  ищем в виде

$$y(t) = \sum_{-\infty}^{\infty} c_{2n+1} \exp(1/2i\omega(2n+1)t) \quad (4.7)$$

Аналогично предыдущему получаем представление для  $g_{2n+1}$ :

$$g_{2n+1} = \frac{1}{a_{2n+1} + \frac{1}{a_{2n+3} + \frac{1}{a_{2n+5} + \dots}}} \quad (4.8)$$

$$g_{2n+1} = c_{2n+1}/c_{2n-1}.$$

Вычислив  $c_1$ , найдем  $c_3, c_5, \dots$  по формуле  $c_{2n+1} = c_1 g_3 g_5 \dots g_{2n+1}$ .

Нетрудно показать, что  $2P$ -периодическое решение сопряженного уравнения (2.13) имеет вид:

$$y_*(t) = \sum_{-\infty}^{\infty} (-1)^n c_{2n+1}^* \exp(1/2i\omega(2n+1)t) \quad (4.9)$$

Используя (4.1), (4.6), (4.7), (4.9), определяем интегралы, входящие в выражениях для  $\alpha_1^2$  и  $\sigma_2$ .

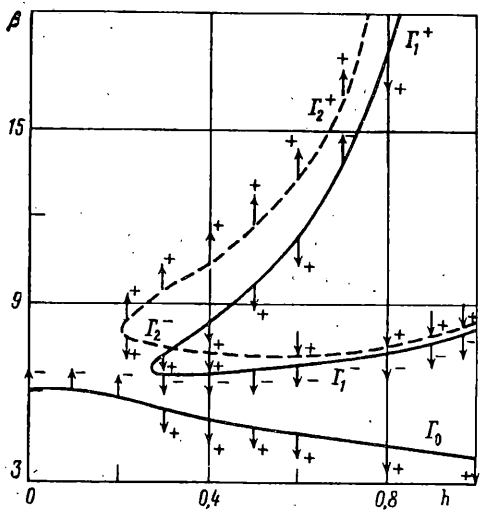
**5. Результаты расчетов.** Вычисления проведены для дробноэкспоненциального ядра релаксации  $B(t) = Ae^{-\gamma t^{\alpha-1}}, 0 < \alpha < 1, A, \gamma > 0$ , в вычислениях полагали  $\gamma = 0,005; \alpha = 0,025$ . Величины  $\alpha_1, \sigma_2$  рассчитаны по формулам (2.17), (3.4).

На фиг. 1 представлена нейтральная кривая на плоскости  $(h, \beta)$  при  $\omega = 5, A = 0,005, \mu = 0,974$ , волновое число  $n = 1$ . Нейтральные кривые соответствующие  $P$ -периодическим режимам изображены сплошной линией,  $2P$ -периодическим — штриховой. «Языки», соответствующие  $P$ - и  $2P$ -периодическим колебаниям пересекаются и расположены выше кривой  $\Gamma_0$ . В аналогичной задаче для материала Фойхта, происходит строгое чередование языков, соответствующих  $P$ - и  $2P$ -периодическим режимам и находятся они ниже кривой  $\Gamma_0$ . Точка плоскости  $(h, \beta)$  принадлежит области устойчивости, если ее можно соединить с началом координат, не пересекая нейтральную кривую.

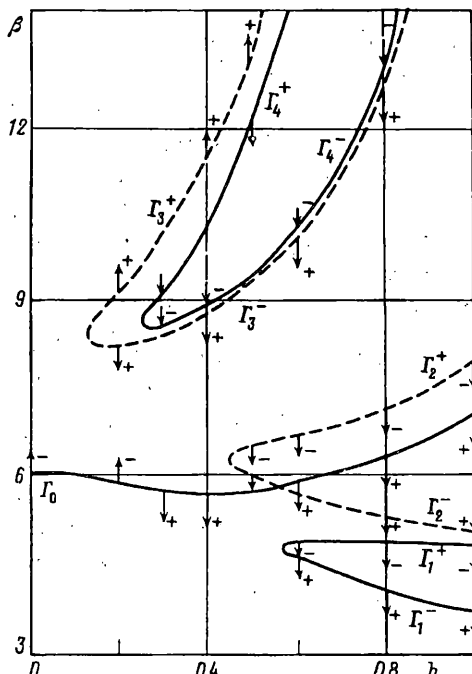
Обозначим через  $\Gamma_1^-, \Gamma_1^+$  — соответственно, нижнюю и верхнюю границы языка, соответствующего  $P$ -периодическому режиму;  $\Gamma_2^-, \Gamma_2^+$  — нижняя и верхняя границы, соответствующие  $2P$ -периодическому режиму. Точки плоскости  $(h, \beta)$ , находящиеся выше нейтральной кривой  $\Gamma_0$ , принадлежат области неустойчивости. Здесь  $\uparrow (\downarrow)$  означают, соответственно, сверх- и докритическое ветвление;  $+ (-)$  — соответственно,  $\sigma_2$  — положительно (отрицательно).

Рассмотрим ветвление при переходе нагрузки  $\beta$  через кривые  $\Gamma_0, \Gamma_1^-, \Gamma_1^+, \Gamma_2^-, \Gamma_2^+$  при фиксированном  $h$ . На  $\Gamma_0$  возможны следующие ситуации:

- 1) мягкая потеря устойчивости ( $\alpha_1^2 > 0, \sigma_2 < 0$ ) прямолинейной формы стержня и



Фиг. 1



Фиг. 2

возникновение пары устойчивых  $P$ -периодических режимов при  $h \in (0; 0,22)$ ; 2) жесткая неустойчивость ( $\alpha_1^2 < 0, \sigma_2 > 0$ ) в интервале  $h \in (0,23; 1)$ . При этом смена типа потери устойчивости происходит через бесконечность, т. е.  $\alpha_1^2(h_*) = \infty$ .

На кривой  $\Gamma_1^-$  ветвление докритическое, при этом  $\alpha_1^2 < 0, \sigma_2 < 0$ ; на  $\Gamma_1^+$  ветвление также докритическое и  $\alpha_1^2 < 0, \sigma_2 > 0$ . Это говорит о том, что в данной ситуации рассматриваемое значение  $\sigma_2$  не является наименьшим, так как первая потеря устойчивости прямолинейной формы произошла на кривой  $\Gamma_0$ . Аналогичная ситуация имеет место на кривой  $\Gamma_2^-$ . На  $\Gamma_2^+$  реализуются сверхкритические ( $\alpha_1^2 > 0$ ) режимы, при этом  $\sigma_2 > 0$ . На «носике языка»  $\Gamma_2$  смена типа потери устойчивости происходит также через бесконечность. В аналогичной задаче для материала Фойхта [2] смена типа потери устойчивости происходит на носиках языков через 0, т. е.  $\alpha_1^2(h_*) = 0$ . Таким образом, для рассматриваемой в работе модели смена типа потери устойчивости происходит через бесконечность.

На фиг. 2 представлена картина ветвления  $P$ - и  $2P$ -периодических режимов для параметров  $\omega = 3; A = 0,05; \mu = 0; n = 1$ . Здесь через  $\Gamma_0, \Gamma_1, \Gamma_4$  обозначены языки, соответствующие  $P$ -периодическим режимам;  $\Gamma_2, \Gamma_3$  — соответствуют  $2P$ -периодическим. Ветвление на кривых  $\Gamma_3^-, \Gamma_3^+, \Gamma_4^-, \Gamma_4^+$ , аналогично выше рассмотренному случаю; на кривых  $\Gamma_1^-, \Gamma_3^- (0,57 \leq h \leq 1)$  имеет место жесткая потеря устойчивости: при достижении нагрузкой  $\beta$  ее критических значений гибнет пара неустойчивых периодических режимов ( $\alpha_1^2 < 0, \sigma_2 > 0$ ). На  $\Gamma_1^+$ , при уменьшении нагрузки  $\beta$ , рождается пара устойчивых  $P$ -периодических режимов (мягкая потеря устойчивости). На кривой  $\Gamma_2^+$  картина аналогичная.

Таким образом, имеем следующие результаты: когда нагрузка  $\beta$ , возрастающая, проходит через критические значения, прямолинейная форма стержня может терять и приобретать устойчивость. При этом либо рождается, либо гибнет пара  $P - (2P)$ -периодических режимов. При достижении амплитудой модуляции не-

которого значения  $h_*$ , тип потери устойчивости меняется. При этом амплитуда вторичных режимов в окрестности  $h_*$  меняет знак, обращаясь при  $h = h_*$  в бесконечность.

#### СПИСОК ЛИТЕРАТУРЫ

1. Андрейчиков И. П., Юдович В. И. Об автоколебаниях вязкоупругих стержней//Изв. АН СССР. МТТ. 1974. № 6. С. 126—134.
2. Беленькая Л. Х., Юдович В. И. О возникновении колебаний вязкоупрого стержня, нагруженного периодической силой//Изв. Северо-Кавказ. науч. центра. Сер. естеств. наук. 1979. № 1. С. 11—15.
3. Ворович И. И. О некоторых свойствах операторов вязкоупругости//Избранные проблемы прикладной механики. М.: 1974. С. 225—244.
4. Беленькая Л. Х., Юдович В. И. Устойчивость вязкоупрого стержня под действием периодической нагрузки//Изв. АН СССР. МТТ. 1978. № 6. С. 146—152.

Ростов н/Д

Поступила в редакцию  
19.VIII.1993